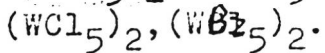
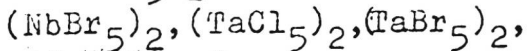
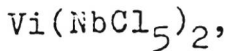


N6-BE

VI-390 1967



Walton R.A., Brisdon B.J.

Spectrochim. Acta, 1967, A23, N8, 2489-92.
The far-infrared spectra (500-200 cm⁻¹) of
some transition metal pentahalides; NbCl_5 ,
 NbBr_5 , TaCl_5 , TaBr_5 , WCl_5 .

RX., 1968, 2 214

J,

err qk

1967
NGOBr (Vi, new ob. 69) 784C32
Регионе. С. М., Бычакова 10.89,
Приамурье В. И.,
Уф. СН ССР, Академ. Унив.,
1964, 3(10), 1972-5

to

001968

6 + in 6.7 1968

~~Cs₂Tl₂Cl₉, Nb₂B₂O₅~~,
~~Ag₂Cl₆, Al₂Cl₁₀~~,
~~Ta₂Cl₁₀, Ta₂B₂O₅~~

VI 6200

Beulthofer, G. Eisen T.R., Ozin G.A.
J. Chem. Soc., 1968, A, vii, 2265 - 2771 (cont.)

V. Katalytische Spezies für Cs₂Tl₂Cl₉
Ag₂Cl₆, Al₂Cl₁₀, Nb₂B₂O₅, Ta₂B₂O₅,
Ta₂Cl₁₀.

Aug. 20, 1969, 62180 W 4 ②

NBOBr₃(K) (M. dd 968)

1968

Canterford J.H., Colton R.,
Tomkins J.B.,

Pi;

Inorg. Nucl. Chem. Lett.,
1968, 4, 471-475.

NbOCl_3 , $\underline{\text{NbOBr}_3}$, NbO_3 (?) 7 1968

Schulz C.O., Stafford F.E., VII 3430

J. Phys. Chem., 1968, F2(13), 4686-8

The vapor-phase infrared spectra of the
niobium oxo trihalides, NbOCl_3 , NbOBr_3 ,
and NbO_3 .

Есть 6 ф. н.

(A, 1969, E0, J12, 52652d.)

$[M_6X_{12}]X_n$ (Vi, chem. nocū). VII 3719
 $M = Nb, Ta; X = F, Cl, Br, I$ $n = 2, 3, 4$ 1969

Mattes R., Z. anorgam. und
allgem. Chem., 1969; 364 (56), 279-89
Infrared spectra and force cons-
tants of niobium and tantalum
halides containing M_6X_{12} groups.

W

Ca 1969

V₆X₁₀; Ta₂X₁₀; Mo₂Cl₁₀; Re₂Cl₁₀(V) 1969

X = Cl, Br, I

F VII 14759

Smardzewski R.R.,

U.S. At. Energy Comm, 1969, JS-T-292,
128pp. (a.m.)

Infrared spectra and vibrational
analyses of some dimeric transition
metal pentahalides.

10



CA, 1970, 72, N14, 727302

1971

cation (TaCl_6^- , TaBr_6^- , NbCl_6^- ,
 NbBr_6^-) + 25260

Arasthi M.N., Mehta M.L.;
J. Mol. Struct., 1971, 7, no 3-4, 301-
304 (austr.)
Molecular force fields of some
hexahalide ions.

10

Rev. No. 1971, 16563

10

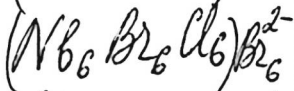
NBOBr₃(2) lom. 22605 1971

Ngai L.H., stafford-F.E.,

M.N.:
Kp.:

Adv. High. Temp. Chem.,
1971, 3, 213-270.

1981



(кластер)

5 Б30. Расчеты методом ССП ЛКАО кластеров $(Nb_6Br_{12})Cl_6^{2-}$ и $(Nb_6Br_6Cl_6)Br_6^{2-}$. Reiser Вегнхард. LCAO—SCF-calculations of the cluster $(Nb_6Br_{12})Cl_6^{2-}$ and $(Nb_6Br_6Cl_6)Br_6^{2-}$. «Comput. and Chem.», 1981, 5, № 2—3, 107—110 (англ.)

Методом ССП ЛКАО рассчитано электронное строение кластеров $(Nb_6Br_{12})Cl_6^{2-}$ (O_h) (I) и $(Nb_6Br_6Cl_6)Br_6^{2-}$ (D_{3d}) (II). Расчеты проводились в базисах, состоящих из 450 и 264 АО, представленных в виде разл. по 3798 и 2250 элементарным гауссовым ф-циям (ГФ). Матричные элементы кластерного Пт в методе ЛКАО вычислялись с использованием разл. Пт, являющегося суперпозицией атомных Пт, рассчитанных в приближении Хартри-Фока-Слейтера, в ряд по 216 ГФ. В процессе итераций поправки к кластерному Пт находились в результате численного решения трехмерного ур-ния Пуассона внутри сфер радиусов, соотв-щих атомным

Нестроен
строение,
зв. мех. расчет

X, 1982, 19, N5,

радиусам каждого из атомов в кластере. Описана блок-схема процесса вычислений на ЭВМ. Для I и II вычислены плотности электронных состояний, обсуждены энергетич. спектры MO и распределение MO по симметрии.

И. А. Тополь

ана

N₆OB₂₃ 1984

Nunziante-Cesaro S.,
Maltese et al.¹

crekmp
6 Spectrochim. Acta,
Maesense 1984, A40, N6, 579 -
- 585.

(c.u. N₆OCl₃; II)

N_6OBr_3

1987

French R. J.,

Диэлектроно- Diss. Abstr. Int. B
гетроп. несог. 1987, 47(9), 3783.

(Cal. CrO_2F_2 ; $\frac{III}{-}$)

NBB₂₅

1991

Pershina V., Sepp
W. D. et al.

u.n.

GSI-Rept. 1991. N 91-
1, Sci. Rept. 1990. C.
275.
(csee. VCl₅; $\frac{m}{m}$)

$NbOBr_3$

1992

Pershina V., Lepp W.D.
et al.,

журнал
имени Капица, J. Chem. Phys. 1992,
метод. пакет 97, N2, C. 1123 - 1131.

($Ca \cdot VOCl_3$; III)

Nb₃Br₃

1994

(meop. pacm)

120: 227406g The electronic structure of Nb₃Br₃. Meyer, H. Juergen (Inst. Anorg. Chem., Univ. Hannover, Hannover, Germany). Z. Anorg. Allg. Chem. 1994, 620(1), 81-4 (Ger). The bonding in Nb₃Br₃ was investigated with the aid of extended Hueckel and MO calcs. to gain some understanding concerning stability and possible chem. altering. Seven electrons occupy metal-metal bonding states of a Nb₃Br₃ unit. Six of them are responsible for strong σ bonds within the Nb₃ cluster. One to two addnl. electrons may be incorporated to occupy a_1 orbitals, which slightly increase the bonding in a Nb₃ cluster, rather than between adjacent clusters.

c.A.1994, 120, N/18

F: Nb2Br10

2090

P: 3

134:242937 Analysis of electronic structure and quadrupole coupling in dimeric transition and nontransition halides in terms of the density functional theory. Poleshchuk, O. Kh.; Koput, Ya.; Latoshinska, I. N.; Nogai, B.; Shanina, Yu. A. Tomsk State Pedagogical Institute, Tomsk, Russia. Russ. J. Coord. Chem. (2000), 26(11), 784-791. in English.

The electronic structure of dimeric M₂X₆ (M = Al, Ga, In, I; X = F, Cl, Br, I) and M₂X₁₀ (M = Sb, Nb; X = Cl, Br, I) was analyzed using the d. functional theory. The calcd. parameters of the NQR spectra were compared with the exptl. values. Binding of the bridging and terminal halogen atoms was examd. using the natural orbitals of the metal-halogen bond. The inversion of the halogen NQR frequencies for the compds. of transition and nontransition elements is explained.